



Open Heavy Quark Heavy Quarkonium Electromagnetic Probe

Yukinao Akamatsu (Nagoya)

Open Heavy Quark

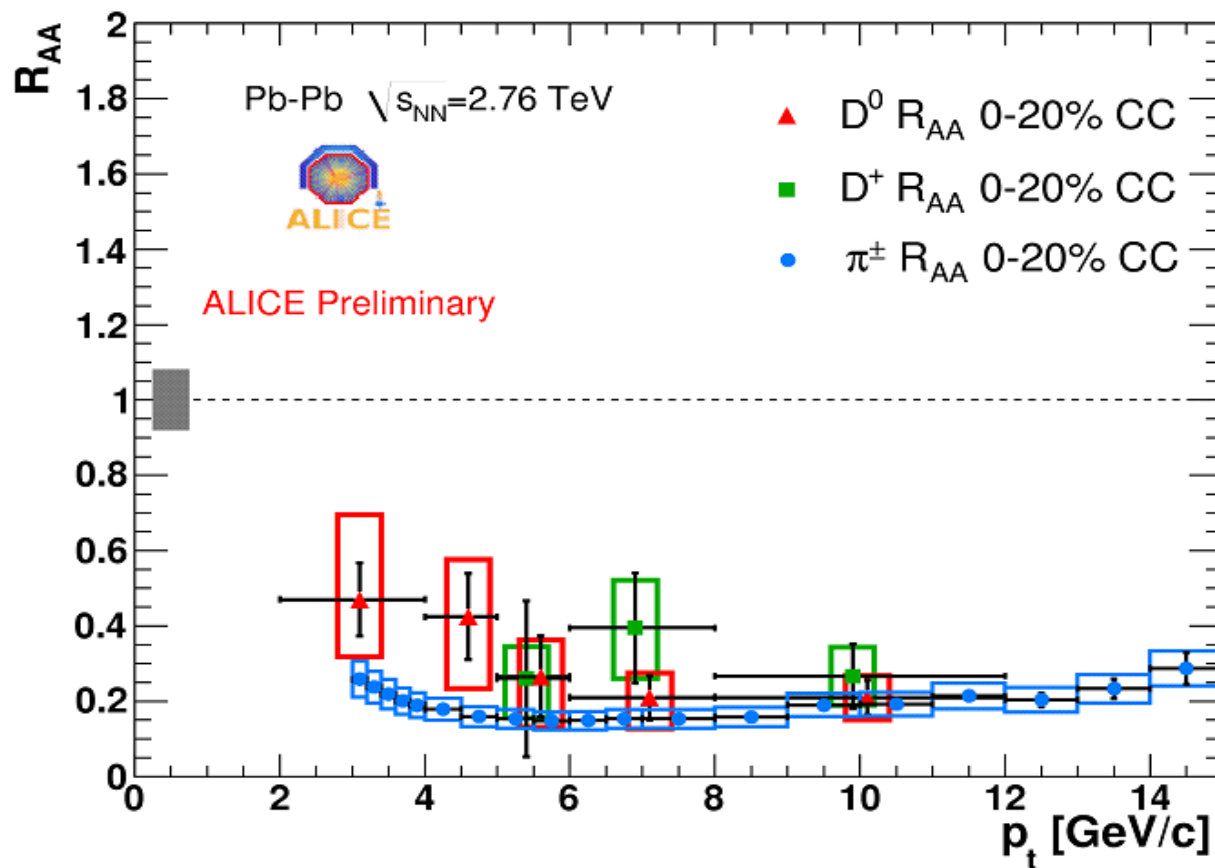
1. D meson (ALICE/STAR)
2. Non-photonic electron (ALICE/PHENIX/STAR)
3. Non-photonic muon (ALICE)

1. D meson

- ALICE
 - $K + \pi$ の 不変質量 から D を 測定する
 - Bottom の 崩壊 の 寄与 は 除く
 - pp は FONLL を 用いて $\sqrt{s} = 7\text{TeV} \rightarrow 2.76\text{TeV}$ へ
 - High p_T で R_{AA} が π と 同じくらいに 小さい
 - 理論の 定性的な 予想 と 異なる
(Casimir, dead cone)

1. D meson

- ALICE



1. D meson

- STAR

$K + \pi$ の 不変質量から D を測定する

Bottom の 崩壊の 寄与を 差引いて いない？ (要確認)

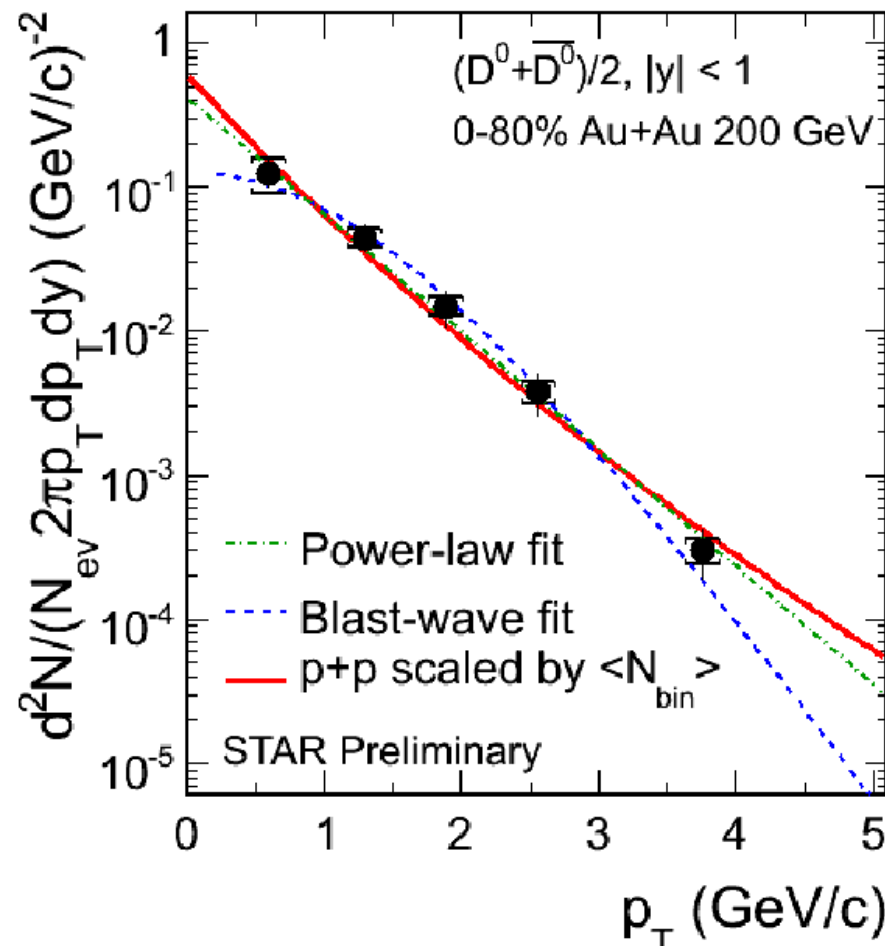
pp で FONLL の 上限と 一致

AuAu で N_{coll} -scaling を 確認 \rightarrow hard な 過程による 生成

AuAu で low p_T の Blast wave fit は light hadron と 比べ、
 T_{kin} は 高く β_T は 小さい \rightarrow charm は 早く decouple

1. D meson

- STAR



2. Non-photonic electron

- ALICE

Inclusiveからcocktailを差引くとnon-photonic electron (+thermal radiation)が残る

(R_{AA} の計算では、ppはFONLLを用いて
 $\sqrt{s}=7\text{TeV} \rightarrow 2.76\text{TeV} \wedge$)

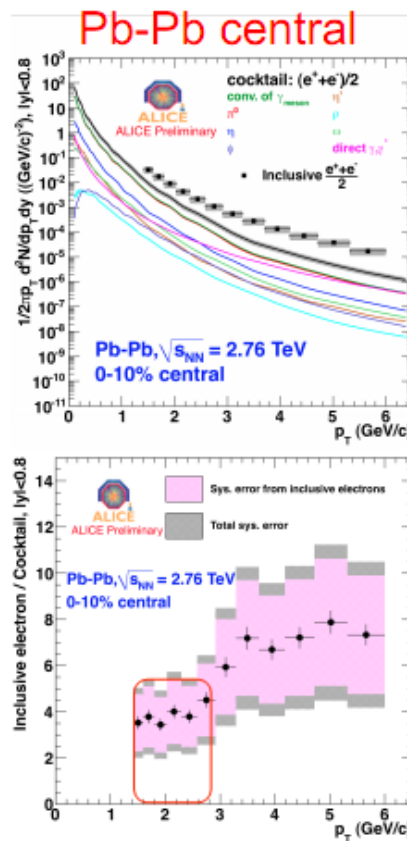
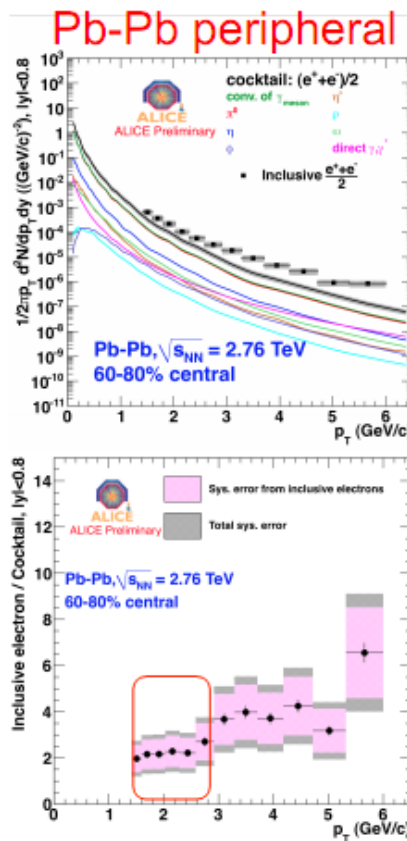
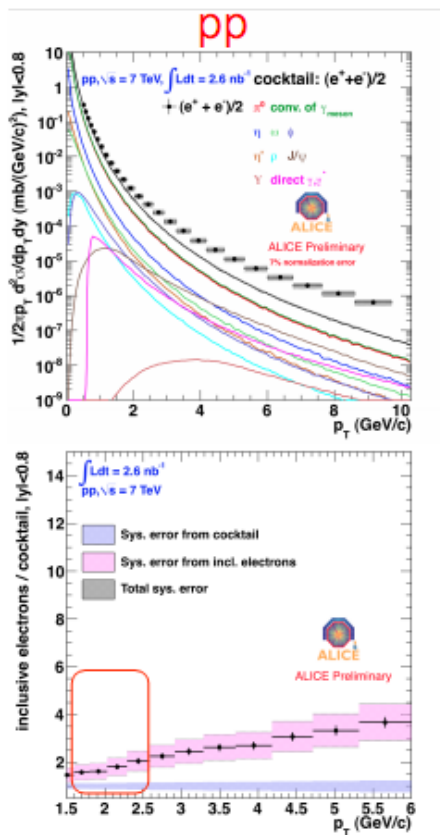
pp, PbPbともcocktailに比べてexcess

PbPb low pT: thermal dielectron?

PbPb high pT: non-photonic electronが主要

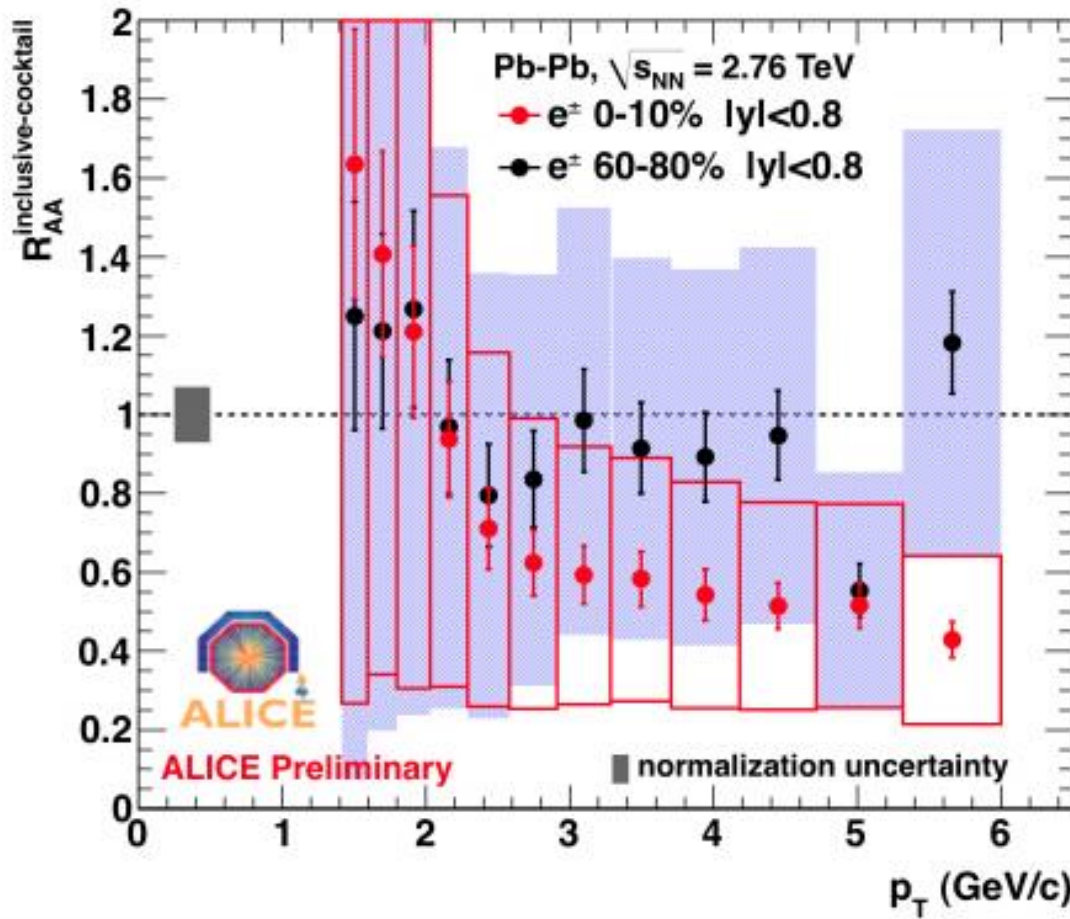
2. Non-photonic electron

- ALICE



2. Non-photonic electron

- ALICE



2. Non-photonic electron

- PHENIX

dAu衝突で $R_{dA} \approx 1$

CNM効果はHeavy Flavorで重要でない

- STAR

pp衝突でD起源とB起源を分けて測定

FONLLとconsistent

3. Non-photonic muon

- ALICE

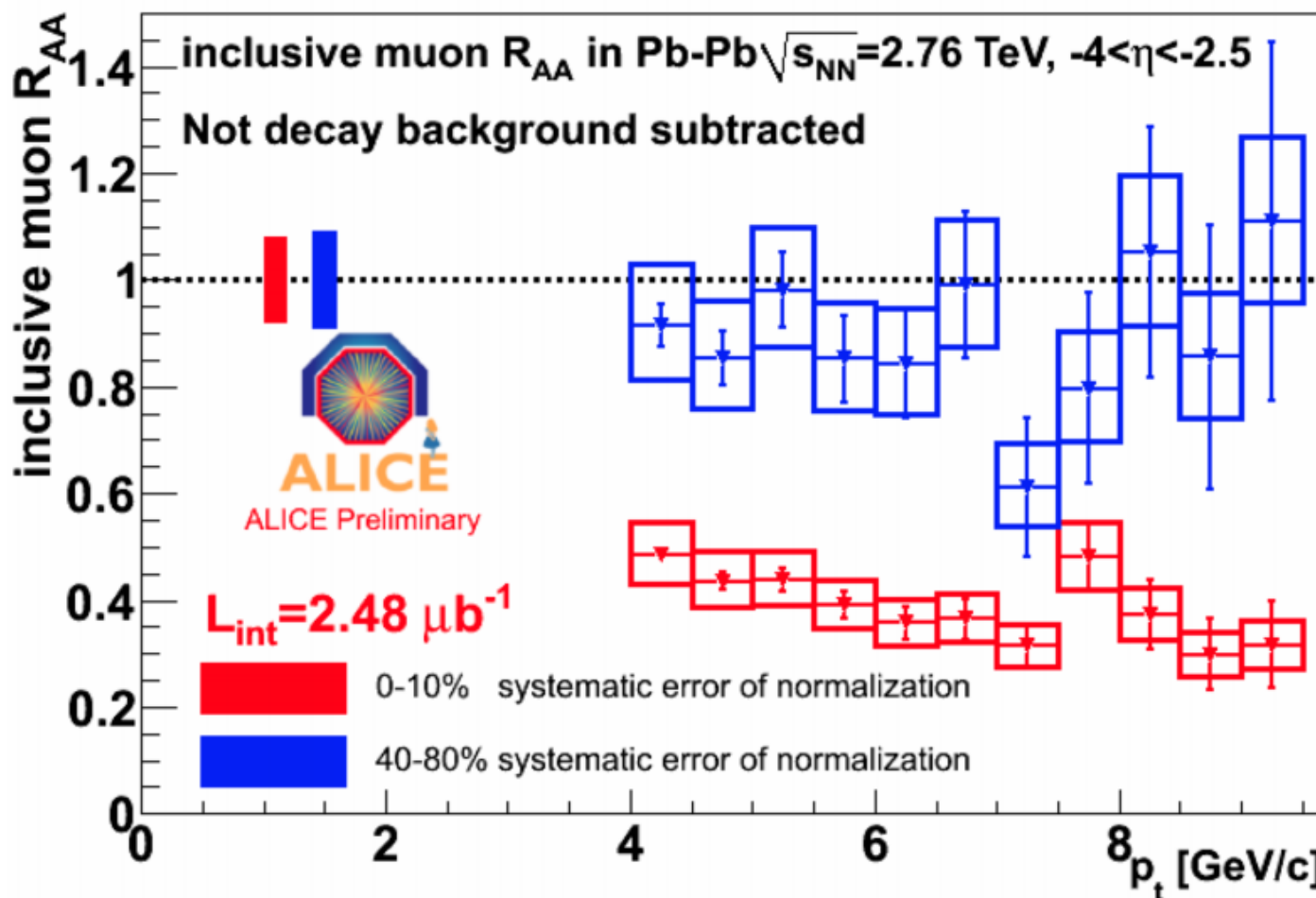
ppとPbPbのinclusive muonを測定

ppはFONLLを用いて $\sqrt{s} = 7\text{TeV} \rightarrow 2.76\text{TeV}$ へ

Inclusive muonの R_{AA} は、中心衝突ほど小さい
理論の定性的な予想通り

3. Non-photonic muon

- ALICE



Heavy Quarkonium

1. J/ Ψ (ALICE/CMS/STAR/PHENIX)
2. Y (CMS)

1. J/ Ψ

- ALICE

Dimuonの不変質量からJ/ Ψ を測定

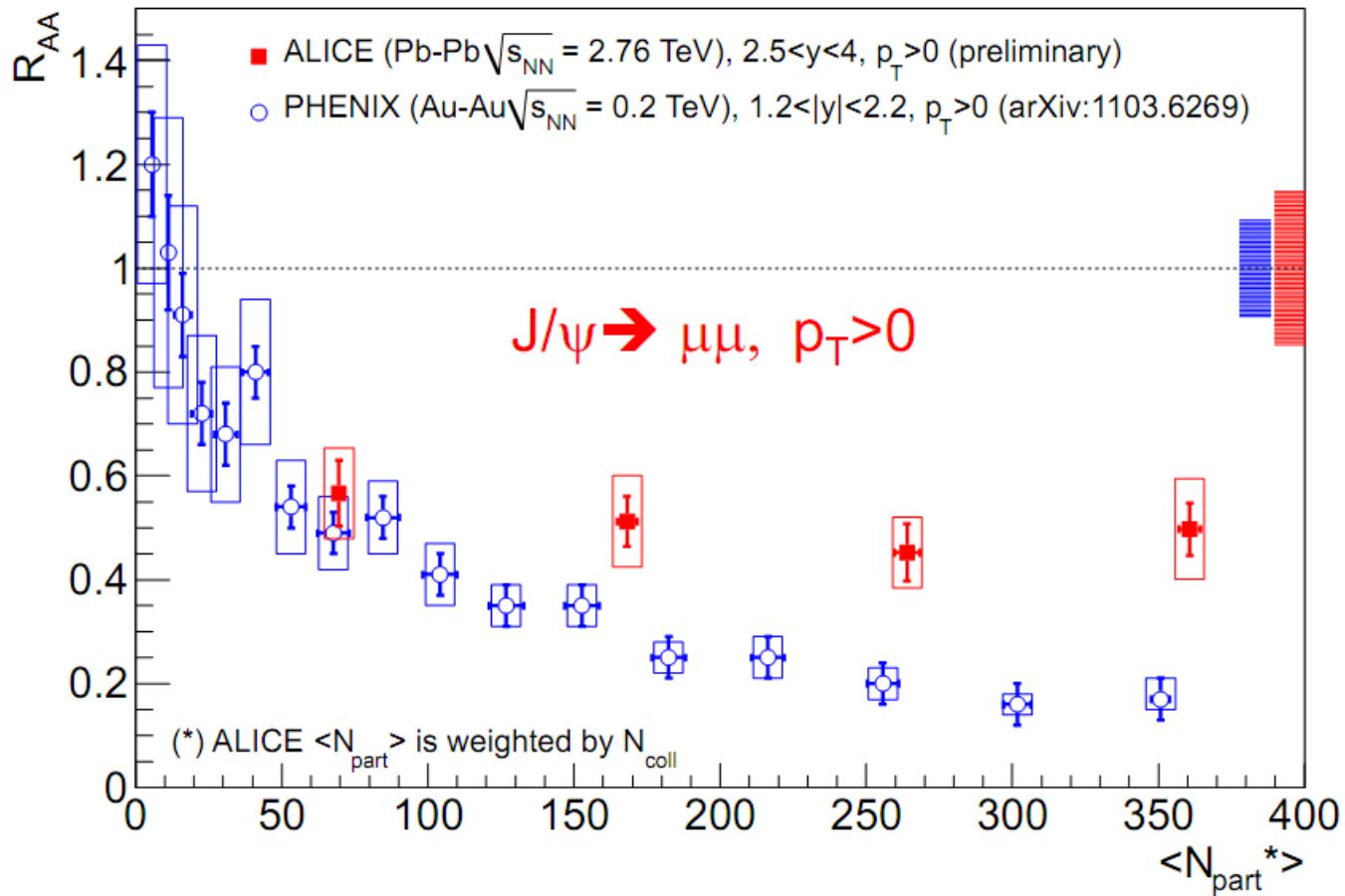
$B \rightarrow J/\Psi$ の寄与(non-prompt)は分離していない

R_{AA} のcentrality依存性がPHENIX,ATLASと異なる

正しい理解のためには、nuclear shadowingや
cold nuclear matter effectの知識が重要

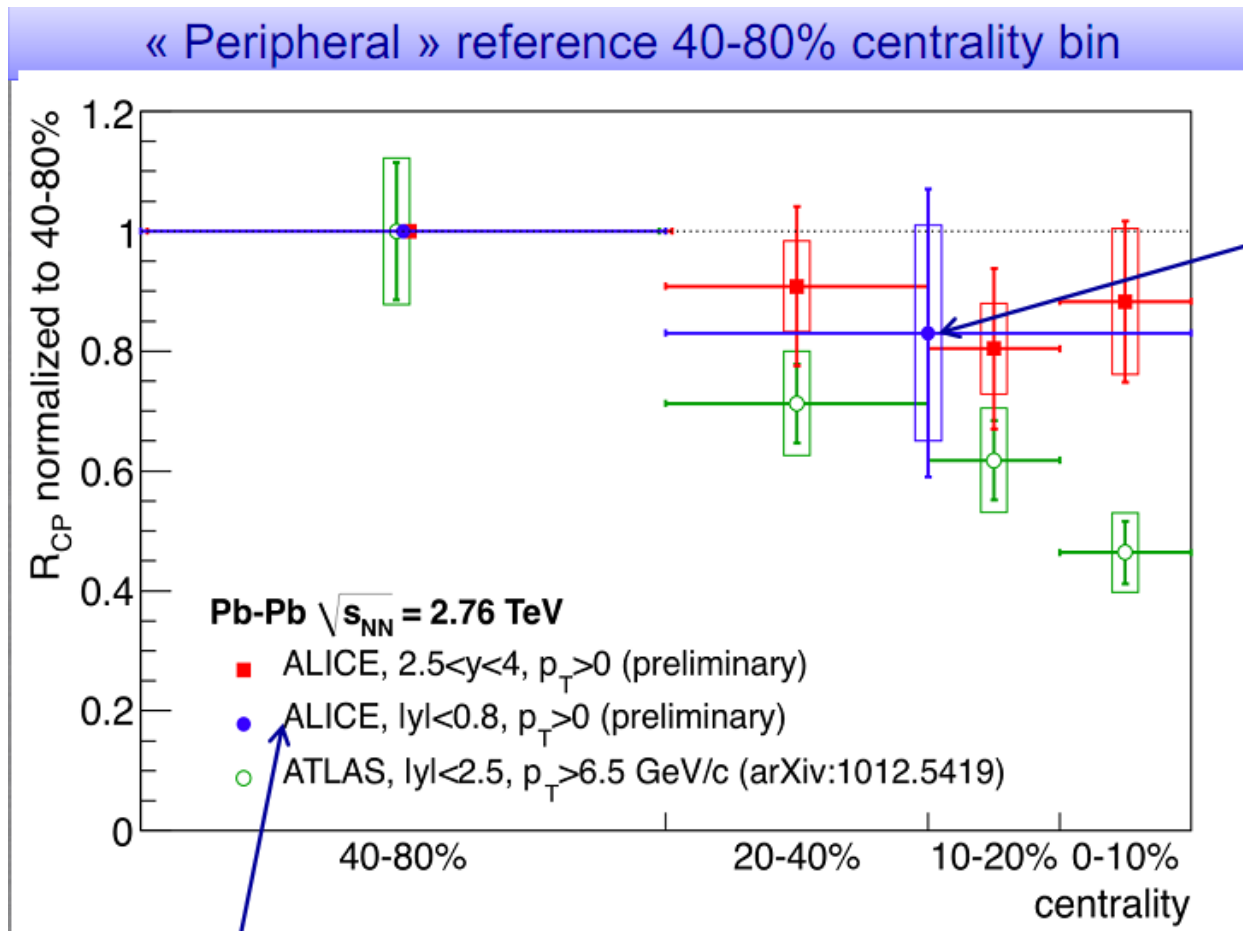
1. J/ ψ

- ALICE



1. J/ ψ

- ALICE



1. J/ Ψ

- CMS

Dimuonの不変質量からJ/ Ψ を測定

$B \rightarrow J/\Psi$ の寄与(non-prompt)は分離している

R_{AA} の p_T , rapidity依存性がPHENIX,STARと異なる

R_{AA} は中心衝突ほど抑制される

Anti-shadowing?

運動量領域やnuclear shadowingの効果の違いを考慮したうえで他の実験と比べる必要がある

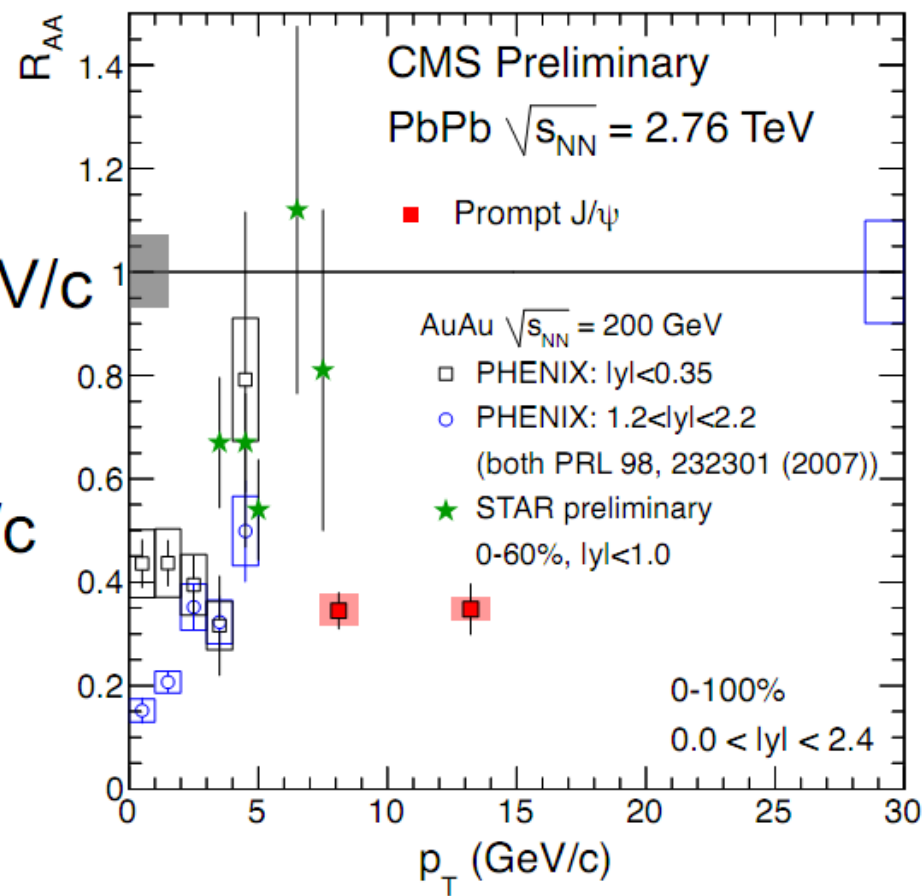
1. J/ ψ

- CMS

CMS
 $p_T^{J/\psi} > 6.5 \text{ GeV}/c$

STAR
 $p_T^{J/\psi} < 8 \text{ GeV}/c$

PHENIX
lower p_T



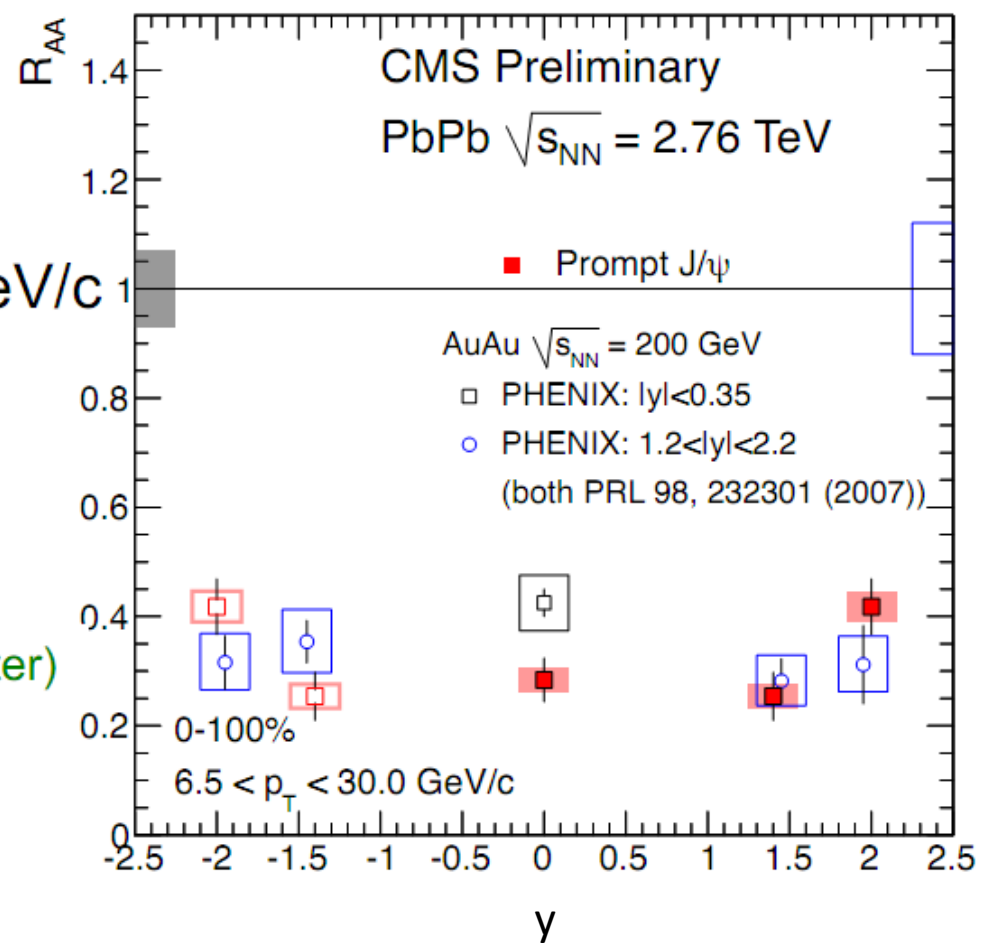
1. J/ ψ

- CMS

CMS
 $p_T^{J/\psi} > 6.5 \text{ GeV}/c$

PHENIX
lower $p_T^{J/\psi}$

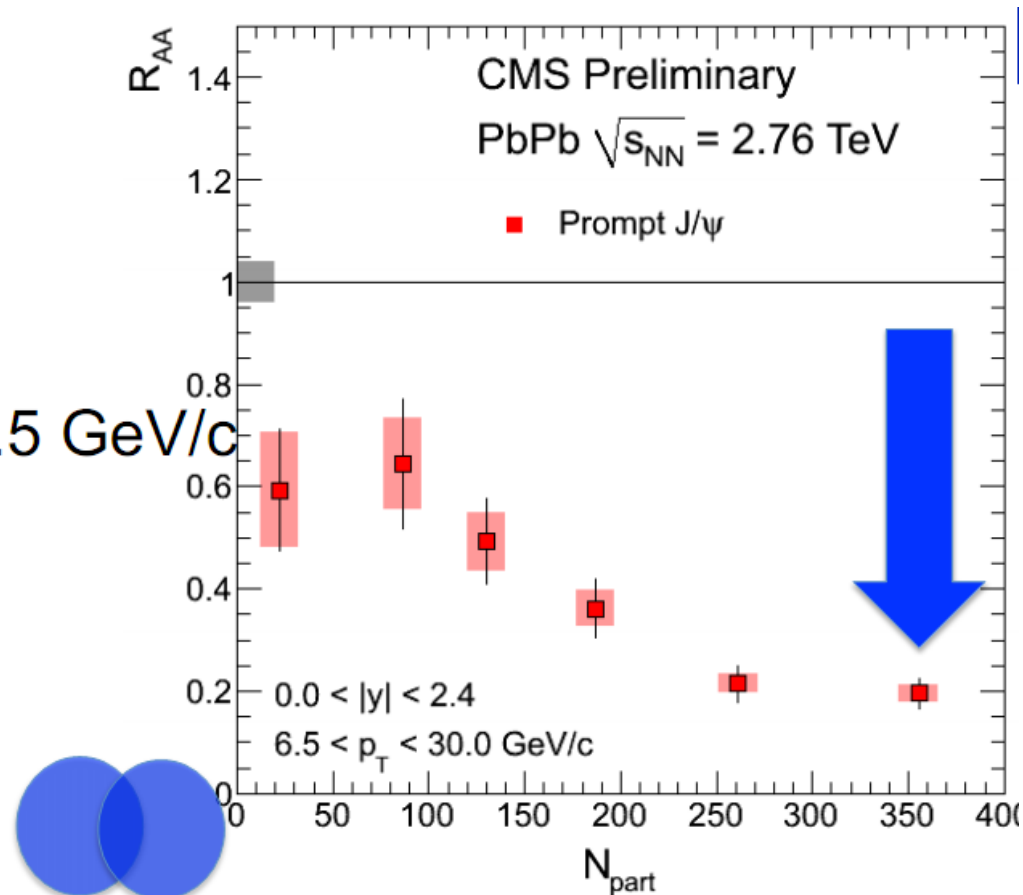
M. Wysocki (Poster)



1. J/ ψ

- CMS

CMS
 $p_T^{J/\psi} > 6.5 \text{ GeV}/c$



1. J/ Ψ

- PHENIX

$pp \rightarrow J/\Psi + X$ の断面積を測定

Color octet stateを通じた J/Ψ 生成を示唆

- STAR

J/Ψ spectrum, R_{AA} , v_2 を測定

High- pT でも中心衝突であれば抑制が見えた

$V_2 = 0 \rightarrow$ charm recombination は ×

2. Y

- CMS

Dimuonの不変質量からY(1S,2S,3S)を測定

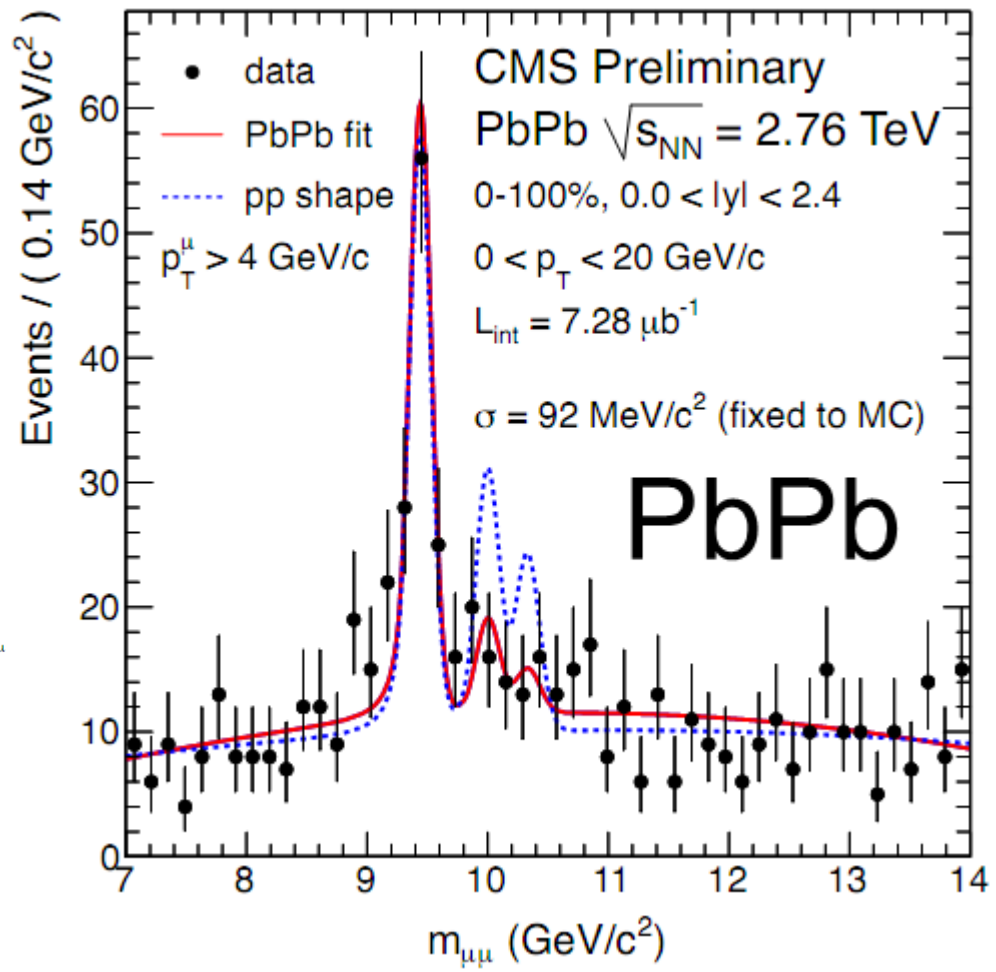
$Y(2S+3S)/Y(1S) |_{PbPb}$ と $Y(2S+3S)/Y(1S) |_{PP}$ の比~0.3

Sequential quarkonium meltingを示唆

2. Y

- CMS

$$\frac{\Upsilon(2S+3S)/\Upsilon(1S)|_{PbPb}}{\Upsilon(2S+3S)/\Upsilon(1S)|_{pp}} = 0.31^{+0.19}_{-0.15} \pm 0.03$$



Electromagnetic Probe

1. Real Photon (CMS/PHENIX)
2. Dilepton (PHENIX/STAR)

1. Real photon

- CMS

Photon-Jetに付随するハドロンの全エネルギー
によりイベントを選別する(LO processを見たい)

PbPbの $(dN/dE_T)/T_{AA}$ のデータまで解析

R_{AA} を計算するにはppのデータが必要
(現在実験中)

1. Real photon

- PHENIX

Direct real photon spectrumを測定

(direct=inclusive-decay=prompt+thermal)

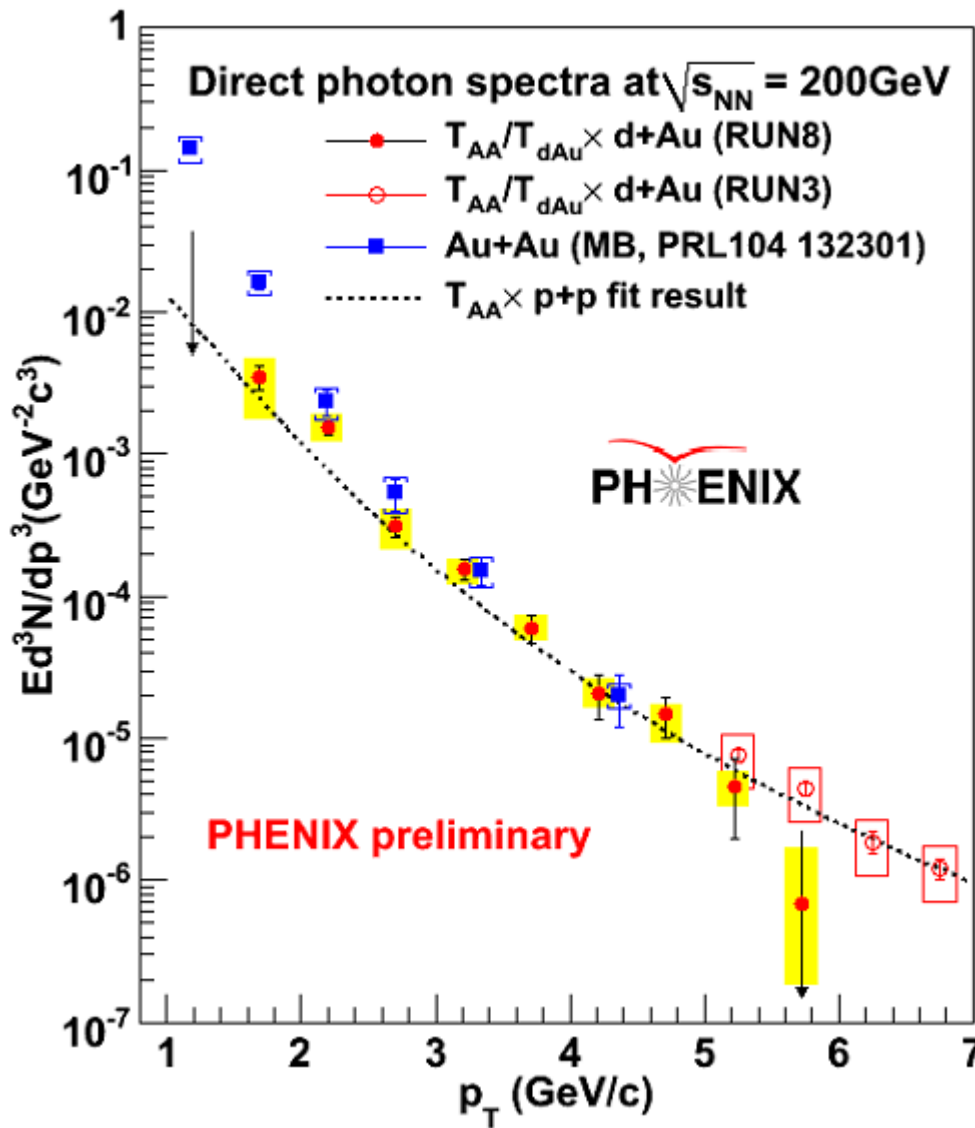
Low p_T で N_{coll} -scaled ppからのenhancement

Low p_T の v_2 は π と同じくらい

両方とも、low p_T ではthermal photonが主要な
寄与であることを示唆

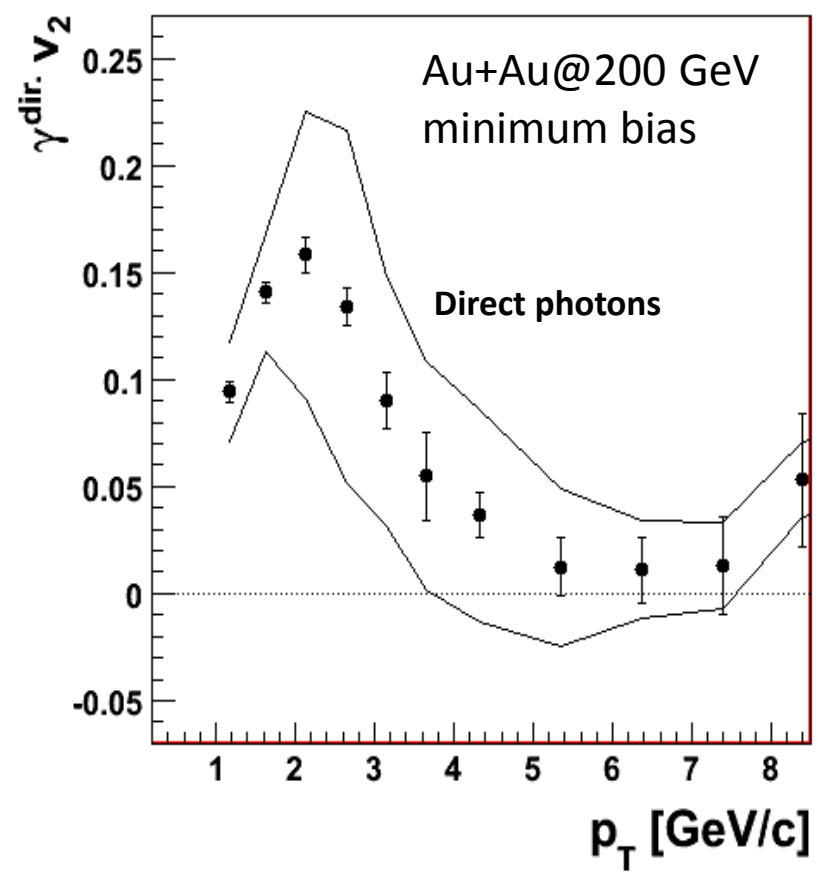
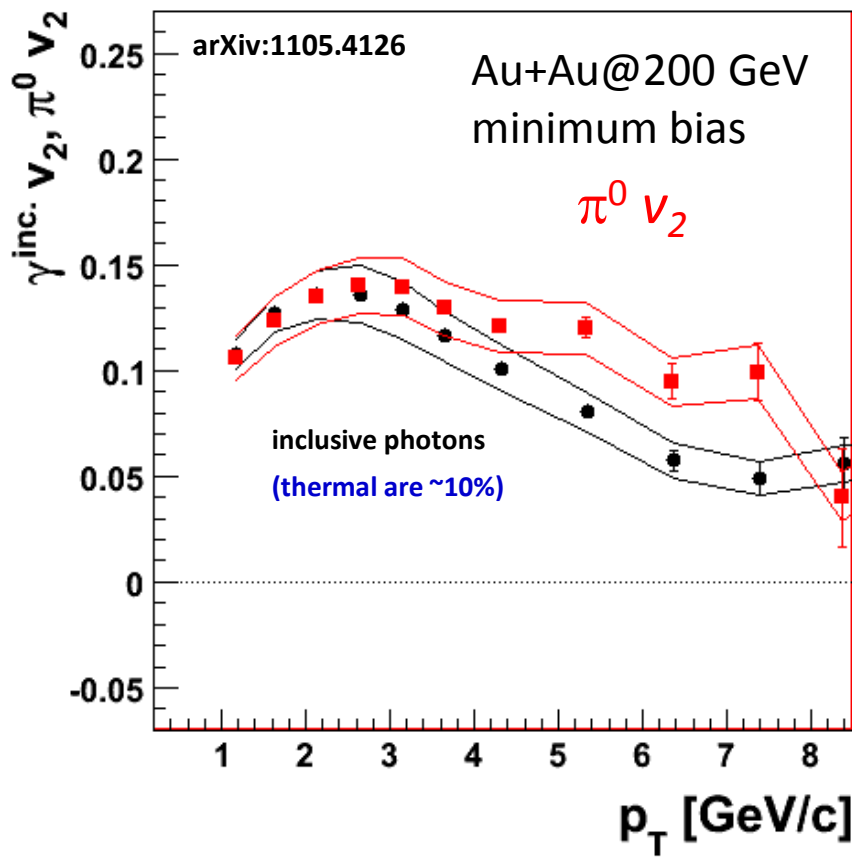
1. Real photon

- PHENIX



1. Real photon

- PHENIX



2. Dilepton

- PHENIX

dAuでdielectronを測定

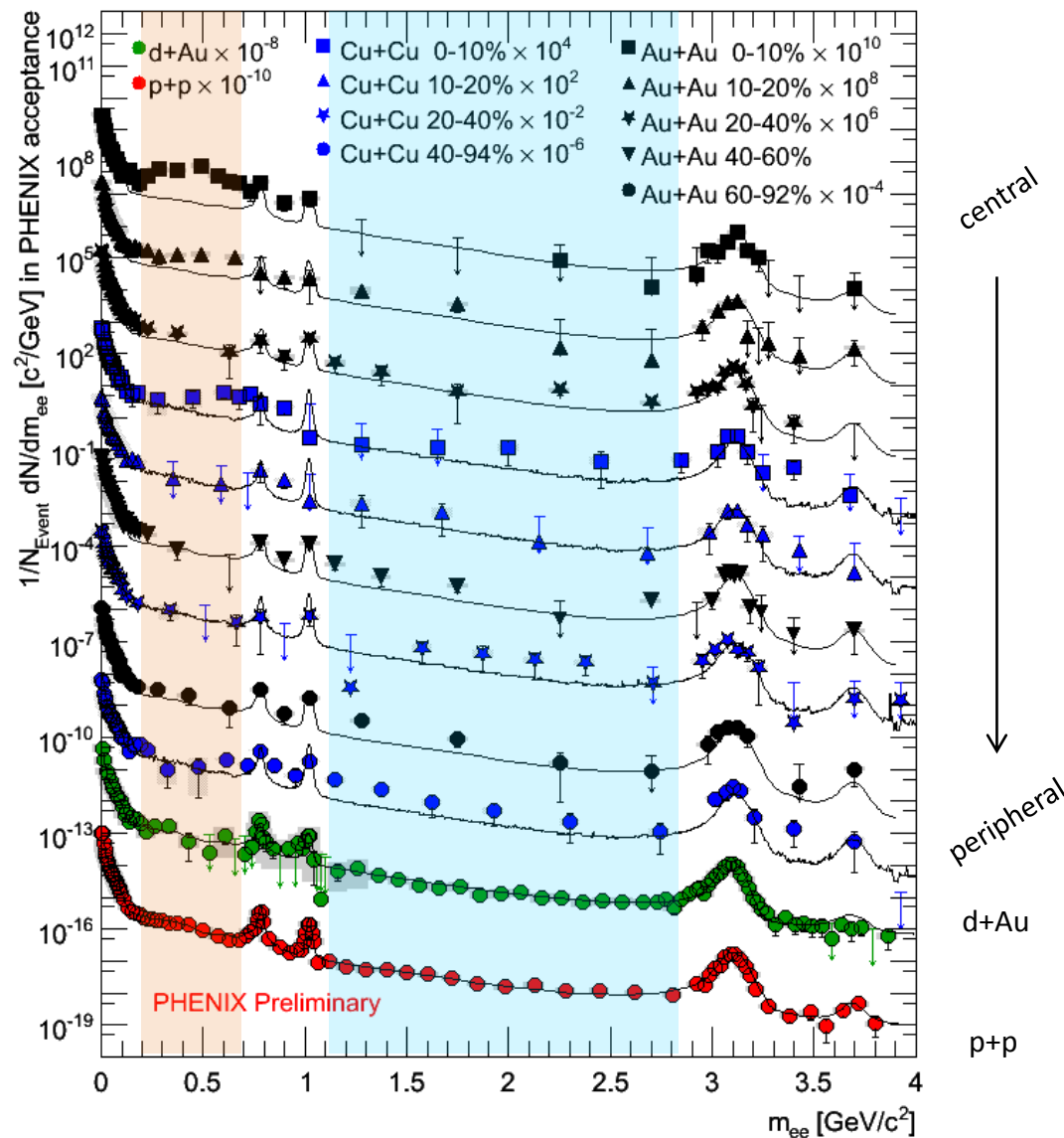
Cocktailからのenhancementは見られない

AuAuでcold nuclear matter effectは無視できる

Hadron Blind Detectorを用いた測定を予定
(Run10)

2. Dilepton

- PHENIX



2. Dilepton

- STAR

pp, AuAuでdielectronを測定

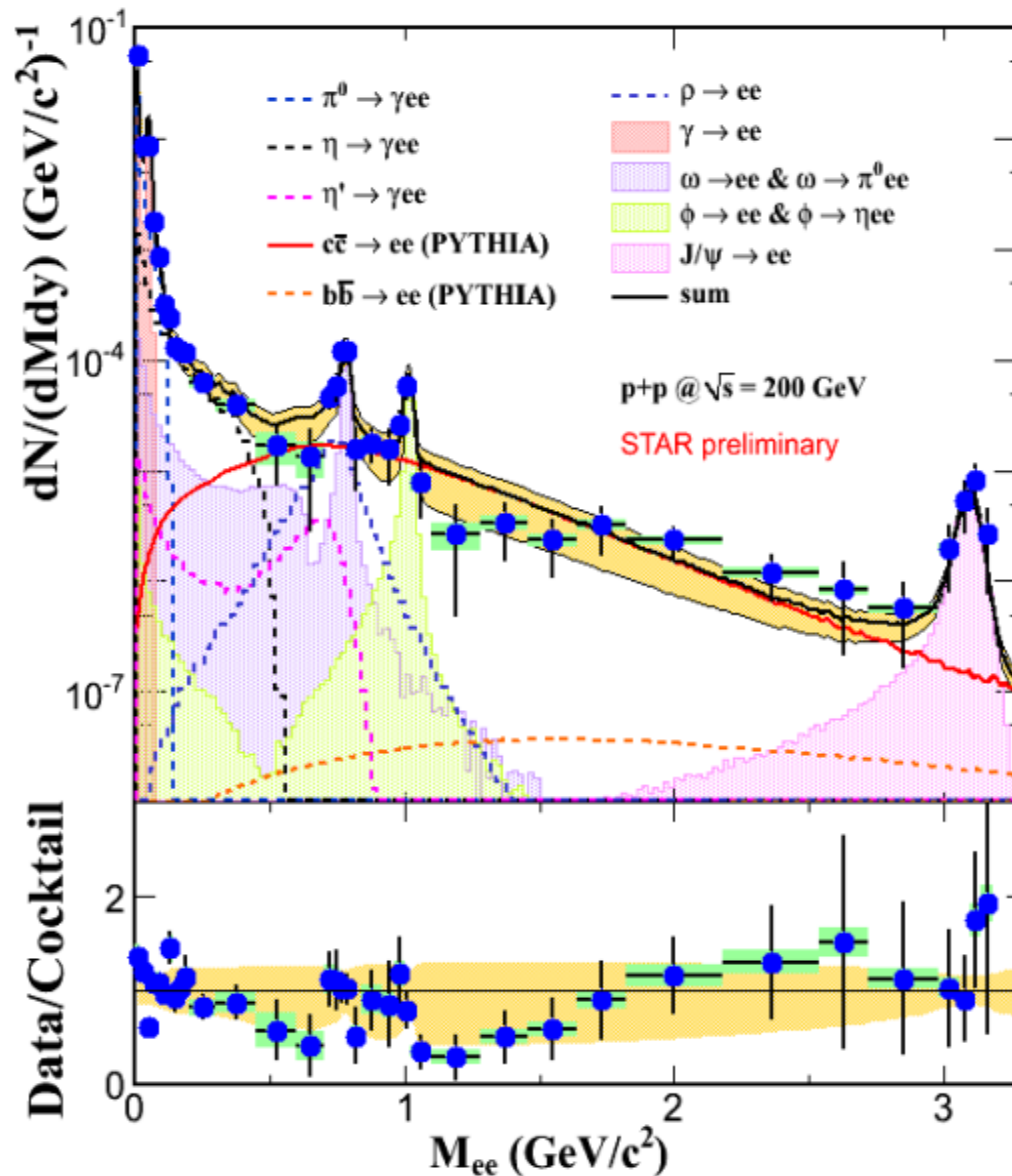
Low mass enhancementはPHENIXよりも小さい
(ただし、STAR acceptance≠PHENIX acceptance)

$M_{ee} \approx 1\text{GeV}$ 付近でpp, AuAuともcocktailを下回る

PHENIXとのconsistency???

2. Dilepton

- STAR



2. Dilepton

- STAR

